

معرفی کانسارموته به عنوان سامانه طلای مرتبه با توده‌های نفوذی

بهزادمهرابی^{*}، ابراهیم طالع فاضل، مجید قاسمی سیانی: دانشگاه تربیت معلم تهران
مریم شهابی‌فر: مرکز تحقیقات فرآوری موادمعدنی ایران

چکیده

کانسار طلای موته در غرب ایران واقع در بخش مرکزی پهنه سنندج- سیرجان (SSZ)، مرتبه با رگه‌های کوارتز، کوارتز- سولفیدی، عنسی‌ها و رگه‌های قطع کننده سنگ بستر نیوبرونزوزوئیک است که غالباً در امتداد پهنه‌های برشی با راستای NW-SE تشکیل شده است. کانزایی طلا مرتبه با دگرسانی‌های گرمابی شدید در راستای پهنه‌های برشی شکل‌پذیر، با مجموعه دگرسانی رخساره شبیست سیز شامل کوارتز + سریسیت + کلریت + الیت و دگرسانی سولفیدی و سیلیسی شدن نزدیک به منطقه کانه‌دار صورت گرفته است. کانی‌شناسی کانه شامل، پیریت، کالکوپیریت، سولفید مس- پیسموت (امپلکتیت)، آرسنوبیریت، پیروتیت، پیسموت، طلا و مقایر انگلی گالان و اسفالاریت است. رخداد طلای طبیعی در رگه‌های کوارتز، به صورت ادخال در پیریت و کالکوپیریت‌های نسل دوم و بافت پرکننده شکستگی‌ها در درون و اطراف پیریت‌های دانه‌درشت خوشکل و نیمه خوشکل صورت گرفته است. مطالعات سیالات درگیر در رگه‌های کوارتز، شامل سه نوع اصلی از سیالات H-O-C؛ مشکل از نوع کربنیک (غنى از CO_2)، آبگین- کربنیک و سیالات آبگین در مناطق معنی چامخالون و سنجده است. بر این اساس، سیالات کربنیک با دمای همگن شدن CO_2 $12/6$ تا $27/3^\circ\text{C}$ ، سیالات آبگین- کربنیک با شوری $2/5$ تا $12/5$ درصد و دمای همگن شدن نهایی برابر $145/6$ تا $30/4-20^\circ\text{C}$ و سیالات آبگین، مشکل از دوسته، (۱) شوری $2/1$ تا $15/2$ درصد و دمای همگن شدن نهایی $212/2$ تا $297/6^\circ\text{C}$ در رگه کوارتز- سولفیدی طلدار و (۲) شوری $16/4$ تا $28/2$ درصد و دمای همگن شدن نهایی $147/4$ تا $245/6^\circ\text{C}$ ، متعلق به رگه‌های عقیم کوارتز هستند. در حالی که غالب خصوصیات ذکر شده پیشین در ارتباط با زنگ کانسار موته، مشابه با ذخایر طلای کوه‌زایی (مزوت‌مال) است، ویژگی‌هایی از قبیل، ارتباط ژنتیکی بین تحولات تکتونیکی گوشه با پوسته بالابی طی تاریخچه تکتونوماگمابی پهنه سنندج- سیرجان به همراه واحدهای ساختاری کثشی و نفوذی‌های محلی و شواهد زمین‌شناسی کانه‌ها، دگرسانی، شیمی کانی‌ها، زوناسیون عنصری و سیالات درگیر ارائه شده در این پژوهش، احتمالاً نشانه‌هایی از کانسازی طلا در منطقه موته، مشابه با سامانه کانزایی مرتبه با توده‌های نفوذی احیایی است.

مقدمه

معدن طلای موته در شمال‌شرقی گلپایگان، واقع در بخش مرکزی کمربند نفوذی- دکرگونی پهنه سنندج- سیرجان مشکل از دو کمپلکس دگرگونه غربی و شرقی است که قسمت عمده‌ای از رگه اصلی کوارتز طلدار در کمپلکس واژه‌های کلیدی: کانی‌سازی طلا، موته، پهنه برشی، طلای مرتبه با توده نفوذی، سیالات درگیر

پذیرش ۹۰/۱۱۲

دریافت ۸۹/۶/۶

fazel_tale@yahoo.com

*نویسنده مسئول

دگرگونی شرقی در شمال روستای موته تشکیل شده است (شکل ۱). نخستین اکتشافات در منطقه، در سال‌های ۱۹۵۵ تا ۱۹۶۶ و اکتشافات تفصیلی طی سال‌های ۱۹۸۰ تا ۱۹۸۵ با انجام پژوهش‌های زمین‌شناسی، ژئوشیمی، ژئوفیزیک و حفاری انجام گرفته است [۱]. در حال حاضر کانسار طلای موته مشکل از ۱۰ زون طلدار، شامل دو زون اصلی چامخاتون و سنجه به صورت معدن فعال-رباز و هشت رخداد کانزایی کوچکتر است (شکل ۲). میزان ذخیره کلی کانسار حدود ۱/۷۹ میلیون تن با عیار ۲/۸ گرم در تن طلا در منطقه معدنی چامخاتون و ۱/۷۶ میلیون تن کانسنگ با عیار ۲/۵ گرم در تن طلا در منطقه معدنی سنجه تخمین زده شده است [۱]، [۲]. کانزایی طلا در منطقه معدنی همراه با رگه‌های کوارتز طی تغییر‌شکل ناحیه‌ای منطبق بر زون‌های میلیونی واقع در سنگ‌های دگرگونی و سنگ‌های آتشفشاری دگرگونشده از قبیل گنیس و شیست شکل گرفته است. بهطور مشابه در زون سنندج- سیرجان (SSZ) سنگ‌های دارای برگوارگی و گسل‌خورده در کمربند دگرگونی شیست سبز- آمفیبولیت، میزان ذخایر طلا با تیپ مشابه از قبیل قیبلوچه، کرویان، قوقله و زرترشت هستند [۳]، [۴]. پژوهش‌های تیله و همکاران [۵] و سامانی [۶]، حاکی از کانزایی طلا در منطقه در ارتباط با فعالیت‌های گرمایی منشأ گرفته از نفوذی‌های گرانیت‌وئیدی پرکامبرین است. رسیدنژاد و همکاران [۷]، مدل ژنتیکی چشم‌های آبگرم متصاعدی پالوزوئیک را برای کانسازی در موته مؤثر دانسته و پژوهش‌های موریتز و همکاران [۱]، در منطقه چاه باغ، حاکی از کانزایی طلا در ارتباط با پهنه‌های برشی شکل پذیر- شکنا است که منجر به قطع سنگ بستر دگرگونه شده است. موریتز و همکاران [۱]، کانزایی در منطقه موته را ناشی از تحولات ماقمایی، فعالیت‌های کششی و متعاقباً بالا آمدن پوسته شکننده طی ائوسن دانسته و نقش توده‌های نفوذی در کانزایی طلا را محتمل دانسته است.

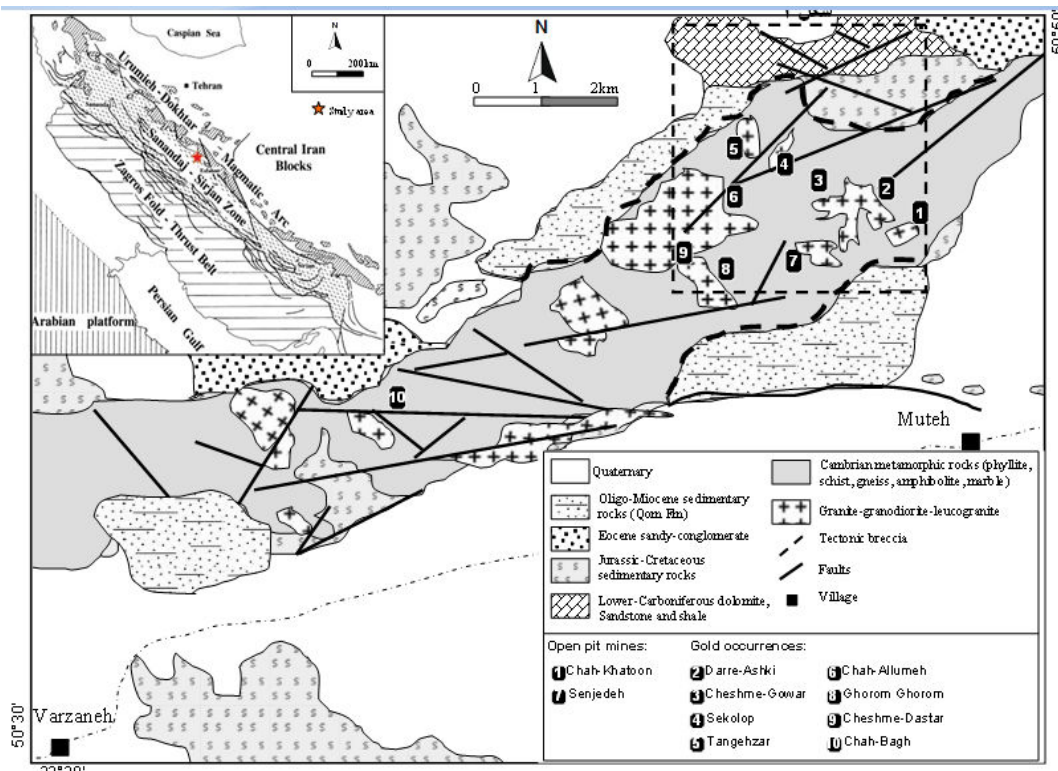
پژوهش حاضر بر مبنای اطلاعات زمین‌شناسی کانسار، شیمی کانه‌ها و سیالات درگیر استوار بوده و استفاده از این داده‌های نوین برای تعیین منشأ سیال کانهدار، ارتباط مکانی و زمانی میان ماقماییسم و کانزایی و مقایسه کانسار با خصوصیات رگه‌های کوارتز طلدار نوع کوهزایی و نوع مرتبه با توده‌های نفوذی در ایالت‌های کانزایی طلای پرکامبرین به کار گرفته شده است.

زمین‌شناسی منطقه

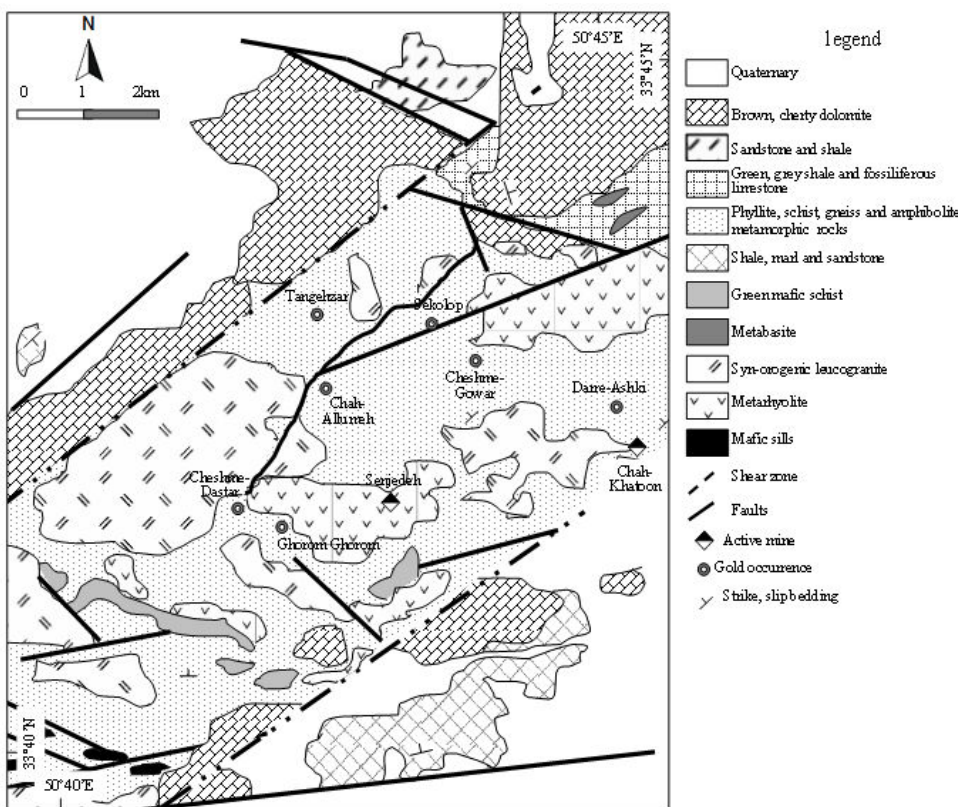
مجموعه سنگ بستر غرب ایران مشکل از سنگ‌های دگرگونی پالوزوئیک تاتر‌شیری، افیولیت ملانژ‌های مزوژوئیک، سنگ‌های دگرگونه‌رسوبی و توده‌های نفوذی متعدد است که غالباً به‌وسیله مجموعه‌های نفوذی گرانوپیوریت و گرانیت (به عنوان مثل، باتولیت الوند و کمپلکس گرانیتی بروجرد) قطع شده و زیرمجموعه سنگ‌های آتشفشاری کالاک‌آلکالن-آلکالن قرار گرفته‌اند [۹].

ناحیه معدنی موته مشکل از سنگ‌های دگرگونی مرمر، گنیس، آمفیبولیت، کوارتزیت، سنگ‌های دگرگونه- رسوبی پلیتیک شامل، میکاشیست، کوارتز- بیوتیت- سریسیت شیست، کوارتز- کلریت- بیوتیت شیست و کوارتز- کلریت-

آلبیت شیست، و سنگ‌های آذرین لوکوگرانیت، متالکانیک ریولیت، توف‌اندزیتی و لاوا است (شکل ۲). این سنگ‌ها بسته به موقعیت قرارگیری نسبت به مناطق کانسازی واقع در پهنه برشی، دارای درجه دگرگونی مقاومتی هستند. سنگ‌های دگرگونه رسوی بهنگ قهقهه‌ای مایل به زرد همراه با ساخته‌های خطوارگی و برگوارگی دارای کانی‌شناسی کوارتز + بیوتیت + موسکوویت + فلسبار + آلبیت + هورنبلند + کلریت + اپیدوت است که باندهای غنی از کلریت، بیوتیت و کوارتز در میان آن‌ها نفوذ کرده‌اند. در جنوب و جنوب‌غرب منطقه معدنی، سیل‌های دگرگون شده درشت تا متوسط بلور حاوی برگوارگی از جنس متاگابرو در سنگ‌های گرانیتی و دگرگونه رسوی منطقه نفوذ کرده‌اند. توده‌های گرانیتی شامل طیفی از سنگ‌های مونزوگرانیت آکالان، گرانو‌دیوریت، تونالیت و سنگ‌های نفوذی سینیت است که به‌وسیله دایک‌های مافیک، میکروگرانیت، رگه‌های آپلیتی و سنگ‌های نفوذی پگماتیتی قطع شده‌اند. این واحدهای گرانیتی شامل کانی‌های کوارتز، بیوتیت، میکروکلین، الیگوکلاز، موسکوویت و کانی‌های فرعی زیرکن و اسفن هستند که در مجاورت پهنه‌برشی کانی‌سازی شده متholm دگرگونی‌های سیلیسی، سولفیدی (به‌طور عمده شامل پیریتی شدن) و به میزان کمتر سریسیتی شدن و کانوئینیتی شدن، شده‌اند.



شکل ۱. موقعیت منطقه معدنی موته در پهنه ساختاری سنترج سیرجان و نقشه زمین‌شناسی ساده‌شده منطقه (با تغییرات از [۵]، [۷])



شکل ۲. نقشه زمین‌شناسی ساده‌شده منطقه معدنی مونه و نمایش موقعیت معادن و رخدادهای مختلف طلا در آن (با تغییرات از [۱۸])

زمین‌شناسی ساختمانی

منطقه معدنی مونه به عنوان بخشی از پهنه نکنونیکی- دگرگونی سنندج- سیرجان همانند سایر بخش‌های این پهنه دارای تاریخچه دگرشکلی چند مرحله‌ای شامل رخدادهای چین‌خوردنگی، گسلش، دگرشکلی و دگرگونی است (شکل ۲). پژوهش‌های ساختاری انجام شده، نشان‌دهنده تأثیر فازهای متعدد و شدید دگرشکلی است، بهطوری که توالی‌های سنگی رخمنون یافته در منطقه تحت تأثیر این فازها نظم اولیه خود را از دست داده و واحدهای سنگی مختلف با ساختارها و فابریک‌های متفاوت را به وجود آورده است. نوع و شدت دگرشکلی ایجاد شده، یکسان نبوده و انواع دگرشکلی‌های شکل‌پذیر تا شکنا به همراه واحدهای سنگی کمتر دگرشکل شده تا واحدهای سنگی به شدت دگرشکل شده در منطقه قابل مشاهده است. آثار این دگرشکلی‌ها به صورت میلیونی شدن، برگوارگی، خطواره کششی نافذ، فابریک‌های C-S، ساختارهای سایه‌فشار و میکاماهی در سنگ‌ها ظاهر شده است (جدول ۱ و شکل ۳).

رخداد رگه‌های کوارتز

کانهزایی در مونه بهطور مشخص توسط نسل‌های مختلف رگه‌ها و عدسی‌های کوارتز کانهدار، و در راستانی پهنه‌های برشی خرد و پودر شده در سنگ میزان دگرگونی یا در محل تماس بین این سنگ‌ها و سنگ‌های

گرانوویوریت رخ داده است. با توجه به پژوهش‌ها، دست کم دو تیپ رگه کوارتز طلدار با راستای مختلف با عنوان رگه‌های نوع ۱ و ۲، نسبت به توالی زمانی تشکیل، در منطقه قابل تشخیص است که سنگ‌های گرانوویوریت و دگرگونی میزبان را قطع کرده‌اند. رگه‌های مذکور همراه با کانی‌سازی پیریت و کالکوپیریت محدود به سنگ‌های متاریولیتی پهنه‌های برشی و توده‌های گرانیتی دگرسان شده مجاور هستند. خصوصیات رگه‌های مذکور بدین شرح است:

جدول ۱. خلاصه‌ای از مجموعه وقایع دگرشکلی، فابریک‌های مرتبط با کانزایی، رخدادهای دگرگونی و فعالیت‌های ماگماتیسم در پهنه سنتنچ-سیرجان (SSZ) [۱۰، ۱۱]

دگرشکلی	فابریک مرتبط	دگرگونی	ماگماتیسم
دگرشکلی نوع سوم (D₃) ایجاد پهنه برشی شکنا تاشکنا. شکل‌پذیر ناشی از بالاًمدگی پهنه SSZ در آغاز ترشیری	پهنه‌های برشی شکل‌پذیر (با راستای شمال غرب-جنوب‌شرق) و شکنا (با راستای شمال‌شرق-جنوب‌غرب) بهمراه محلی همراه با فابریک‌های C-S، ساختارهای میکاماهی و سایه فشار کیلواز کنگرهای S ₃ با راستای شمال غرب-جنوب شرق و فابریک کینگ باند به همراه صفحه محوری F ₃	دگرگونی قهقهایی (M ₃) با ظهور کانی‌های کلریت-اکتنیولیت بهمراه رخساره شیست سبز	
دگرشکلی نوع دوم (D₂) تشکیل پهنه‌برشی در راستای شمال غرب-جنوب‌شرق در نتیجه برخورد مایل صفحه عربی-آفریقا با بخش جنوب غربی زون SSZ	گسل‌های عادی چپ‌گرد با راستای شمال غرب-جنوب‌شرق بهمراه پهنه برشی چپ‌گرد بیوپیت‌های کنگره شده همراه با پور‌فیرو-کالاسیک‌های پلاژوکلاز تشکیل برگواره نافراسلیتی (S ₂) با راستای شمال غرب-جنوب‌شرق همراه با تشکیل چین‌های نامتران (F ₂)	دگرگونی مجاورتی (M ₂) ناشی از فتوکریست‌های کارنت-استارولیت-هورنبلند تحت شرایط رخساره امفیبولیت	جایگیری توده‌های نفوذی گرانیت‌نیدی در منطقه ناشی از فعالیت‌های کوهزایی کرتاسه‌پایانی-پالئوسن
دگرشکلی نوع اول (D₁) تحولات دگرگونی و تکتونیکی پهنه SSZ طی ژوراسیک پایانی-کرتاسه آغازین	تشکیل چین‌های بزرگ مقیاس (F ₁) و شیستوریته سطحهای شکل (S ₁) تقییک باندهای کانی‌های تیره و روشن در سنگ‌ها گسل‌های تراستی بزرگ مقیاس ناشی از فورانش، که منجر به جابه‌جایی و رخمنون سنگ‌های پسترن دگرگونه در شمال‌شرقی حاشیه قاره‌ای نتوتیس شده	دگرگونی دیناموترمال (M ₁) مرتبط با تحولات کوهزایی مژوزوزنیک با حضور مجموعه کانی‌های کلریت-گارنت-فلدسپاریتاتیزم ± مگنتیت در سنگ‌های رسوبی-دگرگونه پلیتی	

(۱) رگه‌های کوارتن نوع ۱ شامل مجموعه کانی‌های پیریت، کالکوپیریت، سولفید مس- بیسموت، پیروتیت، آرسنوبیریت، الکتروم و مارکاسیت همراه با کانی‌های سیلیکاته آلبیت، فلزپارپتاسیم و کوارتز راستای پهنه برشی با مؤلفه چپگرد-عادی و امتداد N25-35W در مناطق معنی چامخاتون و سنجه تشکیل شده است. طبق مطالعات کوهستانی [۸]، رگه‌های کوارتز کانه‌دار در محدوده معنی چاباغ متشكل از پیریت، کالکوپیریت، آرسنوبیریت مس‌دار، دیژنیت، اکسید آهن، ملاکیت و آزوریت است که در راستای پهنه برشی شکل‌پذیر با مؤلفه چپگرد- معکوس و راستای NW شکل گرفته است (شکل ۳ الف). همچنین مجموعه کانی‌های کلسیت، پیریت، سریسیت، کائولینیت و موسکوویت در سنگ‌های برشی و خرد شده همراه با رگه‌های کوارتز طلدار در منطقه فراوان هستند. این نوع رگه‌ها در منطقه از کوارتز‌های دانه‌رشت شیری‌رنگ تا شفاف با بافت‌های شانه‌ای و شعله‌ای به همراه پیروکلاست‌های فلزپار پتاسیم تشکیل شده‌اند [۱۲]. متاریولیت‌ها و سنگ‌های سیلیسی حاوی کانی‌های سولفیدی مهمترین سنگ میزبان رگه‌های نوع ۱ در منطقه هستند.

(۲) رگه‌های کوارتر-پیریت. کربنات نوع ۲ همراه با سنگ‌های سیلیسی و بهشت دگرسان در محدوده معنی چامخاتون رخ داده است که در سطح با آغشته‌گاهی قرمز تا سرخ رنگ اکسید آهن-منگنز آبدار مشخص می‌شود. رگه مذکور با راستای N40-50W و شبیه مخالف، بهطور عمدۀ متشكل از کوارتز، کربنات، پیریت و موسکوویت‌های گرمابی هستند (شکل ۳ ب). بافت رگه به صورت پرکننده فضای خالی است که بلورهای خودشکل تا نیمه شکل‌دار کوارتز در آن با بافت شانه‌ای دیده می‌شوند. کانی‌سازی در مراحل پایانی، شامل رگه‌های پرکننده شکستگی‌ها متشكل از رگه و رگچه‌های کوارتز و کلسیت با مقادیری پیریت، ملاکیت و آغشته‌گاهی اکسید آهن ثانویه است.

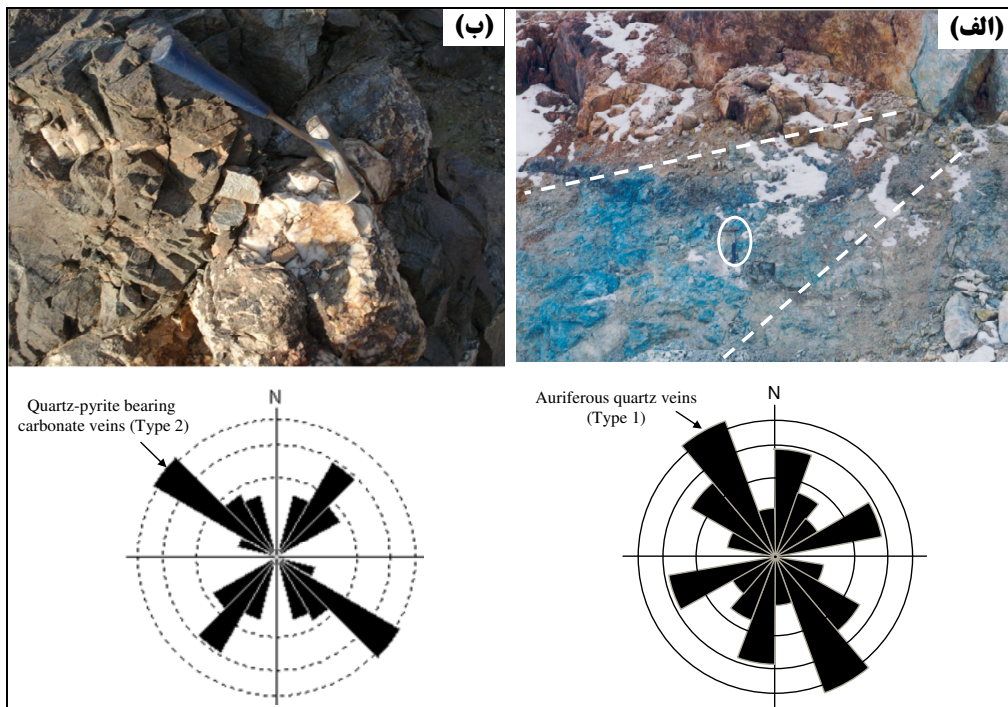
کانه‌زایی و دگرسانی

در نگاهی کلی، عناصر کنترل کننده کانی‌سازی در منطقه موته شامل، عوامل ساختاری (گسل‌ها و شکستگی‌ها)، دگرسانی و دگرشكلي‌ها (پهنه‌های برشی شکل پذير-شکن) هستند. مشاهدات صحرایی حاکی از رخداد کانی‌سازی رگه‌های و رگچه‌های سولفیدی طلدار در پهنه‌های برشی میلونیتی و زون‌های گسلی چپگرد در سنگ میزبان متاورلکانیک فلزیک تا مافیک است که عمدتاً در راستای NW-SE و شبیه ملایم تا تند به سوی NE تشکیل شده است. بیشینه‌مقدار طلای ثبت شده در کانسنگ عدسی شکل کوارتر طلدار حدود ۲/۵۸ گرم در تن است که دارای ۲ تا ۳ کیلومتر طول و ۲۰۰ تا ۴۰۰ متر پهنا با راستای NW-SE (شبیه E-N30-60E) است [۱۲]. در منطقه موته دست کم دو نسل کانی‌سازی یکی در کرتاسه پایانی- پالئوسن (۵۶ تا ۶۸ میلیون سال) [۷] و دیگری براساس سن‌سنگی Ar⁴⁰ / Ar³⁹ (موریتر و همکاران [۱])، ائوسن (۳۸/۵ تا ۷/۵ میلیون سال) تشخیص داده شده است. کانی‌سازی طلا همراه با دگرسانی گرمابی دست‌کم به دو صورت زیر رخ داده است:

۱. کانی‌سازی همراه با مقادیر بالای کانی‌های سولفیدی (بیش از ۵۰ درصد حجمی) شامل پیریت‌های خوشکل تا نیمه شکل‌دار، کالکوپیریت و آرسنوبیریت در سنگ میزبان متاریولیت‌های شسته شده و انواع مختلفی از شیسته‌های دگرگون شده.

۲. کانی‌سازی همراه با مقادیر فراوان رگه و رگجه‌های کوارتز- سولفیدی تشکیل‌شده در راستای سامانه پهنه‌های برشی شکل‌پذیر- شکنا. پیریت و کالکوپیریت به عنوان کانی‌های غالب در منطقه مهمترین فازهای حامل کانی‌سازی طلا نیز محسوب می‌شوند. علاوه بر آن کانی‌های مارکالسیت، بیسموت، سولفید مس- بیسموت، آرسنوبیریت و پیروتیت از کانی‌های فرعی منطقه هستند. براساس پژوهش‌های ساختاری انجام گرفته، مناطق کانی‌سازی منطبق با دگرگونی‌های S_2 و D_2 و محدود به سنگ‌های متالکانیک شدیداً دگرگونی کوارتز- کلریت.

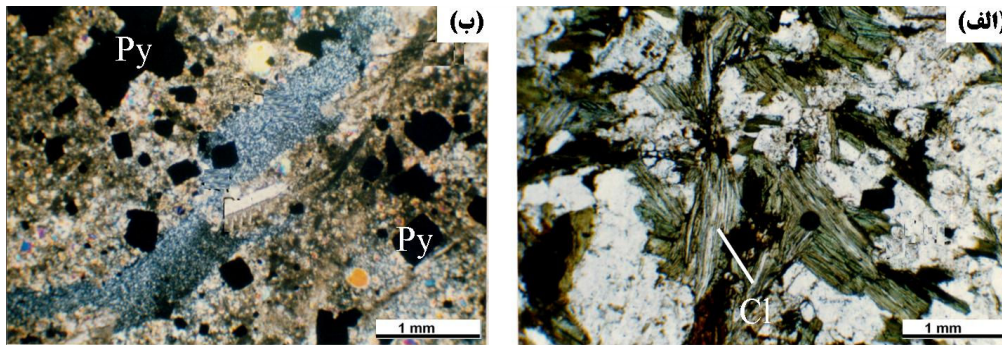
سریسیت شیست هستند (جدول ۱).



شکل ۳. نمایی از تصاویر صحرایی از دو تیپ رگه کوارتز طلایدار در منطقه، شامل (الف) رگه کانه‌دار نوع ۱ با راستای N25-35W در امتداد پهنه برشی اصلی معدن سنجدۀ که در نتیجه فعالیت‌های سوپرزن به صورت آتشتگی‌های سطحی مالاکیت، کوولین و اکسید آهن دیده شود و (ب) نمایی از رگه کوارتز- پیریت- کربنات نوع ۲ با راستای W40-50W در سنگ میزبان سیلیسی با بافت پرکننده فضای خالی در محدوده معدنی چاهخاتون

دگرگونی‌های منطقه، شامل دگرگونی سیلیسی، پیتاسیک (فلدسبار پیتاسیم)، سدیک (آلیت)، سولفیدی، سریسیتی، کربناتی و به میزان کمتر کلریتی شدن هستند که عمدها در راستای پهنه‌های برشی و گسل‌ها شکل گرفته‌اند که به‌سمت مرکز کانی‌زایی، شدت دگرگونی افزایش می‌یابد. کانی‌شناسی دگرگونی‌ها، بافت‌های جاشینی و تشکیل فابریک دگرگونی حاکی از یک مجموعه دگرگونی دما پایین است که به‌سمت کانی‌سازی، زون‌بندی مشخصی را نشان می‌دهد، چنان‌که سیلیسی

شدن و سولفیدی شدن در مجاورت پهنه‌های برشی و کانه‌زایی، کلریتی شدن در مناطق دور از کانی‌سازی و سنگ میزبان و بین این دو (منطقه حد واسط) دگرسانی‌های سریسیتی شدن و کربناتی شدن رایج است. مقدادر بالای طلا در زون دگرسانی سیلیسی همراه با سنگ‌های متاریولیتی میلونیتی شده و سنگ‌های کوارتز- کلریت- بیوتیت شیست و در رگه و رگچه‌های سولفیدی سیلیسی شده واقع در بخش‌های داخلی زون دگرسانی مشاهده می‌شود (شکل ۴ و جدول ۲).



شکل ۴. تصاویر میکروسکوپی از دگرسانی‌های رایج در منطقه شامل، (الف) دگرسانی کلریتی با حضور کلریت‌های (Cl) تیغه‌ای شکل در زمینه کوارتز و فلدسپار پتاسیم، و (ب) سولفیدی شدن با حضور پیریت (Py) در زمینه کانی‌های کربناته از رگه‌کوارتز- کربناته نوع ۲

کانی‌شناسی و توالی پاراژنتیک

کانی‌شناسی در موته شامل مجموعه‌ای از انواع سولفیدی، اکسیدی، سیلیکاته و کربناته است که به صورت اولیه (هیپوژن) و ثانویه (سوپرژن) تشکیل شده‌اند. ضخامت رگه‌ها در منطقه بررسی شده بین ۰/۵ تا ۲ متر و محدود به توالی سنگ‌های کلریت، سریسیت، موسکوویت شیست و کوارتز- کلریت- آلبیت- سریسیت شیست است. از لحاظ ترکیب رگه‌های کوارتز- سولفید طلدار عمدتاً از دانه‌های درشت تا متوسط کوارتز همراه با رگچه‌های کوارتز- کربنات است.

کانی‌های سولفیدی به صورت دانه‌درشت تا ریز بین دانه‌های کوارتز قرار گرفته و شامل پیریت، کالکوپیریت، سولفید مس- بیسموت، آرسنوبیریت، پیروتیت، گالن و اسفالریت است که ۱۰ تا ۱۵٪ حجمی رگه‌های کانه‌دار را تشکیل می‌دهند. مونازیت (حلوی عناصر کمیاب La و Ce)، آنکریت، روتیل، زیرکن، مارکاسیت، بیسموت و طلای آزاد نیز به مقدار کم در رگه‌ها تشخیص داده شدند. بررسی‌ها حاکی از رخداد سه نسل کوارتز شامل، کوارتز نسل اول (Qz1) در شیستهای اولترامیلونیتی و میلونیتی واقع در پهنه‌های برشی به صورت پورفیروکلاست بیضوی همراه با پیریت نسل اول، کوارتز نسل دوم (Qz2) به صورت رگچه‌های کوارتز- سولفیدی و ریزدانه همراه با پیریت نسل دوم در شیستهای میلونیتی کربناته و کوارتز نسل سوم (Qz3) در فاز نهایی کانه‌زایی در رگه‌های کوارتز- سولفید همراه با پیریت نسل اول و دوم است (شکل ۵الف).

جدول ۲. تغییرات عیار عناصر مختلف در سنگ میزبان‌های اصلی کانی‌سازی کانسار موته (داده‌ها بر حسب ppm)

Host rock	Qz-Chl-Bi Schist		Granite		Meta-rhyolite			Amphibolite
	Sample No.	M-70	M-279	M-25	M-206	M-368	M-317	M-148
Au	1.12	1.27	1.16	3.87	3.71	4.11	6.60	3.38
Pb	10.90	276	9.20	7.40	20.9	16.60	52.60	13.90
Ba	93.0	294	564	859	238	446	247	354
Hg	0.03	0.07	0.07	0.03	0.03	0.19	0.06	0.06
Ag	0.22	0.60	0.06	0.65	0.1	0.08	2.41	0.66
As	10.90	212	3.10	4.30	109	23.40	93.10	14.40
Bi	8.70	0.10	0.076	0.50	0.10	0.20	2.60	1.70
Cu	19.60	71.60	14.90	12.4	148	42.02	153	59.20
Mo	1.50	13.40	3.60	5.10	40.2	17.10	53.20	162.10
Sb	0.30	1.10	0.22	0.30	2.5	1.60	0.70	0.50
Sn	1.40	1.40	3.20	3.0	2.3	2.90	2.70	1.60
W	1.20	2.10	2.20	2.0	6.7	14.80	2.80	1.60
Te	8.0	0.50	0.15	0.80	0.15	0.30	8.70	2.30
Zn	9.50	345	9.10	13.2	96.2	62.20	124	81.20
Cd	0.07	0.50	0.07	0.07	0.2	0.20	0.40	0.70
Tl	0.07	0.10	0.20	0.20	0.2	0.60	0.40	0.40
Mn	149	130	83	75	94	368	142	24.50
Ti	1520	842	905	689	1080	2750	2900	1310
Fe	21600	26600	11500	18000	75	39000	54800	92400
S	130	890	37.50	120	210	110	470	340
P	427	273	84	159	446	231	871	163
K	5600	11400	25700	22800	9990	18900	19000	8230
Al	37800	24400	78600	61300	64300	77800	67400	23400
Ca	3060	1730	2710	5580	5570	12300	3870	17600
Mg	7850	2220	948	619	2170	8650	10600	2720
Na	18000	4850	37000	38900	38200	37100	29600	8570

مطالعات میکروسکوپی حاکی از مراحل پیش از کانی‌سازی (مرحله اول)، کانی‌سازی اصلی (مرحله دوم) و سوپرژن (مرحله سوم) است، که بهتر ترتیب شامل این مراحل است:

۱. مرحله اول کانی‌سازی (stage I) با حضور کانی‌های اپاک و سیلیکاته پلازیوکلاز، کوارتز، موسکوویت، پیریت نسل اول، و مقادیر ناچیزی اسفالریت، گالن و پیروتیت.

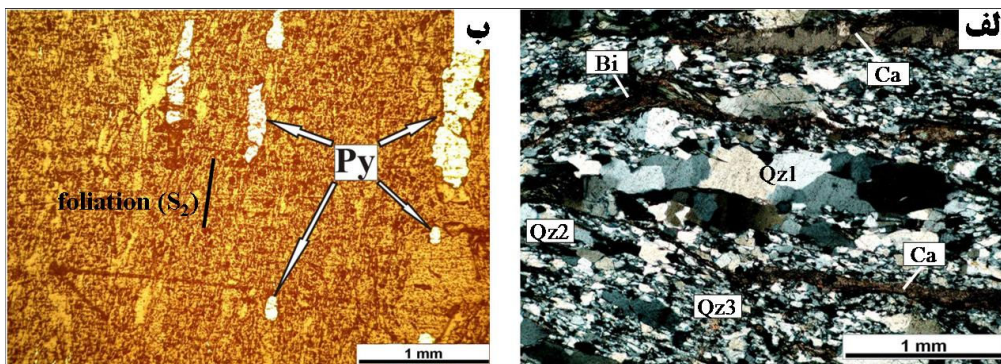
۲. مرحله دوم کانی‌سازی (stage II) که خود مشکل از دو زیر مرحله شامل، الف) زیر مرحله پیش‌غذی شده^۱ مشکل از پیریت و کالکوپیریت نسل اول و مقادیر جزئی کانی‌های مونازیت، بلورهای خودشکل کوارتز و کلسیت به صورت افسان- رگچه‌ای در رگه کوارتز- کربنات نوع ۲؛ و ب) زیر مرحله غذی شده^۲ مشکل از پیریت و کالکوپیریت طلدار نسل دوم، سولفید مس- بیسموت، آرسنوبیریت و مقادیر ناچیزی کانی‌های تلوریدار و طلای آزاد است. این مجموعه بهطور رایج به همراه کانی‌های باطله فلدسپار پتابسیم، آلبیت و کوارتز مشکل‌های اصلی رگه کوارتز- سولفیدی نوع ۱ هستند.

۳. کانی‌سازی مرحله سوم (stage III) با مجموعه کانی‌های فاز سوپرژن در منطقه شناخته می‌شود که غالباً با بافت پراکنده در سنگ میزبان دگرسان شده مشاهده می‌شود و بهطور عمدۀ شامل مارکاسیت، هماتیت، کائولینیت، کالکانیت، ژیپس و هیدروواکسیدهای آهن است.

توالی پاراژنتیکی کانسار موته در شکل ۶ نمایش داده شده است.

۱. Pre Bonanza sub-stage I

۲. Bonanza sub-stage II



شکل ۵. تصاویر میکروسکوپی شامل، (الف) کانی‌سازی کوارتز (Qz) در سه نسل همراه با رگچه‌های کلسیت (Ca) و بیوتیت‌های صفحه‌ای (Bi) در رگه کوارتز-پیریت-کربنات نوع ۲ و (ب) پیریت‌های خودشکل تا نیمه خودشکل (Py) همزمان با دگرشکلی و همرونده با برگوارگی میلونیتی S_2 و دارای مقادیر بالای طلا

کانه‌های سولفیدی و طلا

پیریت، کالکوپیریت، آرسنوبیریت، سولفید مس-بیسموت، دیژنیت و کوولین کانه‌های سولفیدی رایج در کانسار موته هستند که به صورت دانه‌پراکنده، رگچه‌ای و بندرت جهت یافته در سنگ میزبان دگرشکل شده مشاهده می‌شوند. ویژگی‌های کلی کانی‌های نامبرده بین شرح است:

پیریت

پیریت بیش از ۵۰ درصد کانه‌های سولفیدی را تشکیل می‌دهد و فاز اصلی همراه کانزایی طلا است. پیریت عمدتاً در دو نسل (۱) پیریت‌های نیمه خودشکل تا بی‌شکل دانه متوسط تاریز (بیش از ۱۰۰ میکرون) در سنگ‌های گرانیتی یا رگه‌های کوارتز ناشی از دگرگونی به صورت قطع کننده برگوارگی و حاوی مقادیراندکی طلا به صورت محلول‌جامد و (۲) پیریت‌های خودشکل تا نیمه‌خودشکل (بیش از ۱ میلی‌متر) که همزمان با دگرشکلی و همرونده با برگوارگی میلونیتی تشکیل شده و دارای نسبت بالای Au/Ag (بیش از ۳/۴) هستند (شکل ۵ ب و جدول ۳).

کالکوپیریت

پس از پیریت، کالکوپیریت به عنوان مهمترین کانه سولفیدی در منطقه، در دو نسل شامل، (۱) کالکوپیریت‌های دانه‌ریز، بی‌شکل با بافت پراکنده (بیش از ۱۵۰ میکرون) و فراوانی بیش از ۱٪ که به صورت هم‌شد با پیریت‌های دانه‌ریز تشکیل شده است و (۲) کالکوپیریت‌های دانه‌درشت (بیش از ۵ میلی‌متر) به صورت نیمه‌خودشکل تا بی‌شکل، به صورت هم‌شدی با پیریت‌های نسل اول در گانگ سیلیسی (شکل ۷).

سولفید مس-بیسموت (امپلکتیت)

سولفید مس-بیسموت با نام کانی‌شناسی امپلکتیت^۱ و فرمول شیمیایی $CuBiS_2$. پس از پیریت و کالکوپیریت از جمله کانه‌های سولفیدی در رگه نوع ۱ کوارتز-سولفیدی است که همراه با پیریت، کالکوپیریت، پیروتیت، فلدسپار

پتاسیم و آلبیت دیده می‌شود و برای نخستین بار در این منطقه گزارش می‌شود. امپلکتیت به صورت دانه‌های درشت بی‌شک تا نیمه‌خودشکل (بیش از ۱ میلی‌متر) و در مواردی به صورت همووند با برگوارگی طی تبلور مجدد به‌چشم می‌خورد که در زیر میکروسکوپ با نور معمولی به رنگ سفید کدر تا خاکستری با جلای فلزی دیده می‌شود (شکل ۷).

دیژنیت و کوولین

این کانی‌ها حاصل فعالیت‌های سوپرژن در منطقه و دگرسانی کانی‌های مسدار مانند کالکوپیریت و تا حدودی امپلکتیت هستند و به‌طور عمده در زون‌های سطحی، حاشیه‌ها و شکستگی‌های کانی‌های هیپوژن مسدار جانشین شده‌اند.

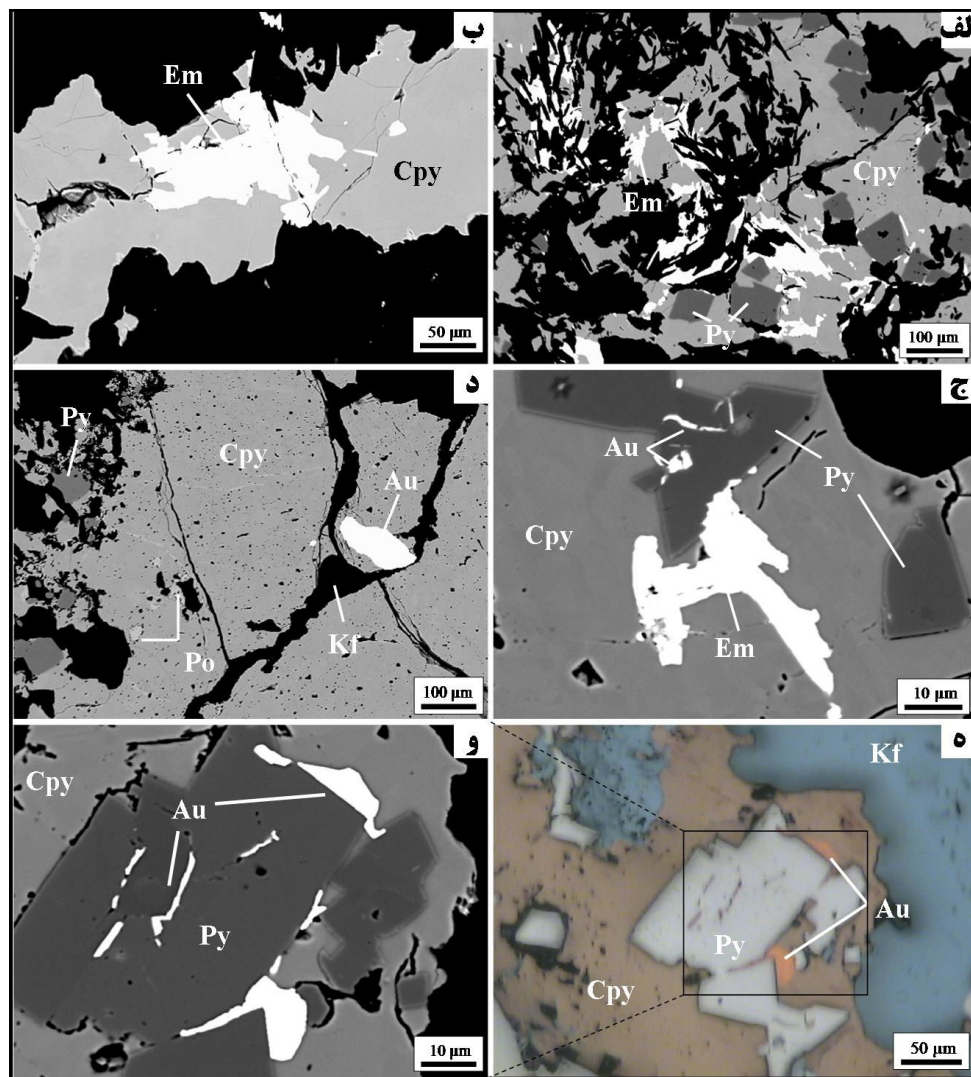
	Stage 1	Stage 2	Supergene
		sub-stage1	sub-stage2
Gangue minerals			
quartz	+		
albite			—
k-feldspar		—	—
calcite	—	—	
phylosilicate	—		
Ore minerals			
pyrite	—	—	
chalcopyrite		—	—
emplectite		—	—
arsenopyrite		—	
monazite		—	
sphalerite	—		
galena	—		
pyrrhotite		—	
marcasite	—		
chalcantite			—
digenite			—
covellite			—
Fe-Mn oxide			—
native gold		—	
electrum		—	
Alterations			
silicification		—	—
sulfidation	—	—	—
carbonatization			—
chloritization			—
sericitization	—		
Textures			
open-space filling	—	—	
disseminated	—	—	—
euhedral, comb quartz	—	—	—
flamboyant quartz	—	—	

شکل ۶. توالی پاراژنتیک کانی‌ها، دگرسانی و بافت ماده معدنی در کانسار موته

طلاء

برهمنای بررسی‌های میکروسکوپی و تجزیه‌های میکروسکوپ الکترونی (SEM) و الکترون مایکروپروروب (EPMA) کانی‌سازی طلا در منطقه به دو صورت شامل ۱) ادخال‌های گردشده در پیریت‌های پراکنده و جانشینی در شکستگی‌های پیریت و کالکوپیریت‌های درشت‌دانه (شکل ۷) و ۲) به‌شکل ذرات طلای آزاد (به‌طور متوسط بین ۱۰ تا ۱۰۰ میکرون) پراکنده در زمینه کانی‌های پیریت- کالکوپیریت- آلبیت و فلدسپار پتاسیم دیده می‌شود (شکل ۷).

۱. Emplectite



شکل ۷. تصاویر از کانه‌های سولفیدی رایج در کانسار موته، شامل (الف) کانی‌سازی پیریت خودشکل (Py) به همراه فاز تأخیری کانه‌های سولفیدی امپلکتیت (Em) و کالکوپیریت (Cpy)، (ب) همرشدی کالکوپیریت و امپلکتیت با یکدیگر، (ج) کانی‌سازی طلا (Au) در شکستگی‌های ریز پیریت خودشکل به همراه امپلکتیت، در زمینه کالکوپیریت، (د) کانی‌سازی طلا به صورت آزاد در زمینه کالکوپیریت طلار نسل دوم (Cpy II) به همراه پیروتیت (Po)، پیریت ریزدانه نسل اول (Py I) و فلدسپار پتاسیم (Kf) به صورت پرکننده شکستگی‌ها، (ه) تصویر میکروسکوپی از پیریت خودشکل، کانی‌سازی طلا و زمینه کالکوپیریت و باطله فلدسپار پتاسیم، (و) تصویر قبل با بزرگنمایی بالا از کانی‌سازی طلا به صورت پرکننده شکستگی‌ها و گرد در اطراف دانه پیریت خودشکل نسل دوم (Py II).

شیمی کانه‌ها

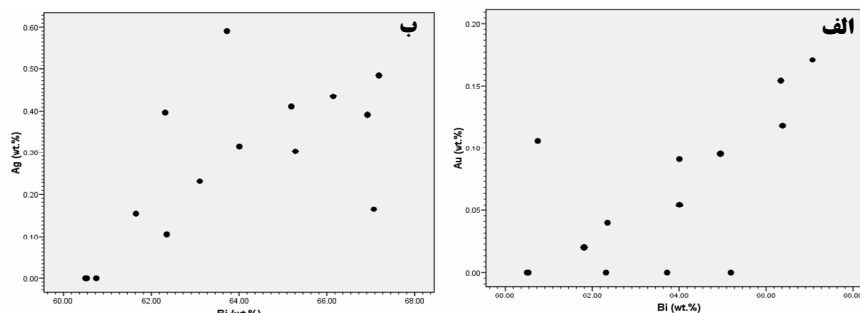
مطالعه ترکیب شیمی‌کانه‌ها طی مراحل پاراژنتیکی مختلف با دستگاه الکترون مایکروپروروب مدل CAMECASX100 در مرکز تحقیقات و فرآوری مواد معدنی ایران (IMPRC) با ولتاژ ۲۰ kv و جریان ۰.۱ nA انجام گرفته است. براساس مطالعات EPMA عناصر Zn, Au, As, Ag, Cu, Te, Hg, La, Ce از

مهترین عناصر کمیاب ثبت شده در ترکیب کانی‌های بررسی شده و Au عنصر رایج در پیریت است. همچنین به منظور تشخیص منطقه‌بندی در بلورهای پیریت، نقاطی از مرکز و حاشیه پیریت‌ها به صورت نقطه‌ای اندازه‌گیری شد. براساس تجزیه‌های نقطه‌ای انجام شده، پیریت نسل دوم (Py II) همراه با کالکوپیریت، سولفید مس-بیسموت، پیروتیت و آرسنوبیریت حاوی $0.03\text{--}0.06\text{ wt.\%}$ آرسنیک در ترکیب است. همچنین، مطالعات حاکی از مقادیر بالای عناصر طلا (بیش از 0.03 wt.\%)، آرسنیک (بیش از 0.012 wt.\%) و جیوه (بیش از 0.015 wt.\%) و طیفی از عناصر As, Ag, Hg و Te در ترکیب کالکوپیریت‌های منطقه است. تغییرات مس در کانه سولفیدی مس-بیسموت بین $12/2\text{--}19/6\text{ wt.\%}$ به دست آمده که این میزان (جدول ۳). تغییرات مس در کانه سولفیدی مس-بیسموت بین $12/2\text{--}19/6\text{ wt.\%}$ به دست آمده که این میزان تمرکز مس، موجب تشکیل کانی دگسان کالکانیت در اطراف کانه منکور شده است. علاوه بر آن، تجزیه نقطه‌ای بر روی کانه سولفیدی مس-بیسموت حاکی از وجود طلا به میزان $0.017\text{--}0.021\text{ wt.\%}$ همراه با عناصر Ag, Au, Zn و Te در مقادیر مختلف است که همبستگی مثبتی میان زوج عناصر Au-Bi و Ag-Bi برقرار است (شکل ۸). همچنین تجزیه نسل‌های مختلف طلا، حاکی از وجود ترکیب شیمیایی یاکسان در آن‌ها و حضور مقادیر نقره به میزان $0.008\text{--}0.017\text{ wt.\%}$ است. میانگین نسبت Au/Ag در کانه‌ها حدود $0.08\text{--}0.17$ و میزان سرب و روی در آن‌ها بسیار ناچیز است. خلاصه‌ای از نتایج شیمی کانه‌ها در جدول ۳ ارائه شده است.

جدول ۳. میانگین نتایج تجزیه نقطه‌ای الکترون مایکروسکوپی از نسل‌های مختلف پیریت (Py)، کالکوپیریت (Cpy) و فاز سولفیدی مس-بیسموت، در کانسار موته (داده‌ها بر حسب wt.\%)

	Fe	S	Cu	Zn	As	Ag	Te	Au	Hg	Bi	Au/Ag
Py1 (13)	47.69	52.68	0.09	0.02	0.08	0.07	0.07	0.04	0.03	-----	0.57
Py2 (18)	47.58	52.34	0.06	0.02	0.13	0.05	0.02	0.17	0.05	-----	3.4
Cpy1 (14)	30.50	34.74	33.91	0.02	0.07	0.04	0.03	0.22	0.09	-----	5.5
Cpy2 (15)	30.47	34.30	34.12	0.01	0.06	0.04	0.04	0.07	0.03	-----	1.75
Cu-Bi Sulfide (9)	1.17	19.48	15.90	0.08	0.00	0.30	0.09	0.09	0.05	63.78	0.27

توجه: اعداد ذکر شده در پرانتز تعداد بلورهای تجزیه شده‌اند.



شکل ۸. همبستگی Scatter-plot میان زوج عناصر Au-Bi (الف) و Ag-Bi (ب) در کانه سولفیدی مس-بیسموت

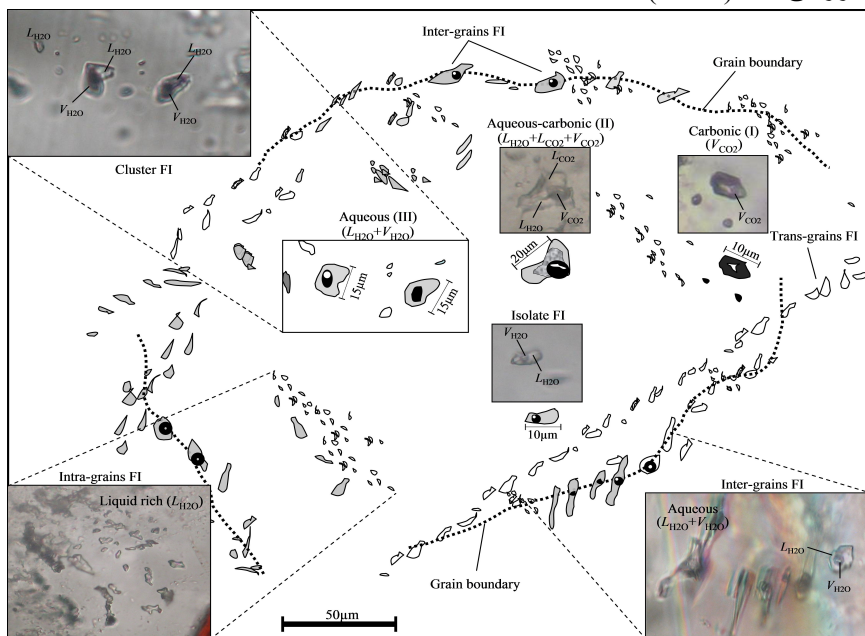
سیالات درگیر

بررسی‌های سیالات درگیر بر روی نمونه‌های هر دو نوع رگه کوارتزی (نوع ۱ و ۲) واقع در بخش‌های مختلف پهنه‌های برشی طلدار و عقیم در معادن سنجه و چامخاتون، با استفاده از سکوی گرمایش-سرمایش لینکام مدل

THM600، واحد کنترل کننده حرارتی TMS-93 و میکروسکوپ تحقیقاتی Ziess در آزمایشگاه سیالات درگیر دانشگاه تربیت معلم تهران با بهره‌گیری از استانداردهای شفرد و همکاران [۱۳] انجام شد. رسم ایزوکرها و تعیین حجم مولی سیال نیز با استفاده از نرمافزار FLINCOR [۱۴]، انجام گرفت. همچنین شوری سیالات درگیر نوع آبگین و سیالات آبگین-کربنیک حاوی فاز کلاتریت نیز به ترتیب با استفاده از رابطه‌های استفاده شده به موسیله بوینار [۱۵] و دایموند [۱۶] بدست آمد.

پتروگرافی و میکروترموتری

بر مبنای مشاهدات پتروگرافی، سیالات درگیر شامل انواع مجزا (isolate) و مجتمع (cluster) (فراوانی کمتر از ۳۰٪)، دروندانه‌ای (intra-grain) (فراوانی حدود ۲۰٪)، مرزدانه‌ای (inter-grain) و قطع‌کننده مرزدانه (-trans-) (فراوانی بیش از ۵۰٪) تشخیص داده شدند [۱۷]، [۱۸]، [۱۹]، [۲۰] که در این میان به غیر از سیالات درگیر قطع‌کننده مرزدانه و تشکیل‌شده در مرزدانه که اغلب جزء سیالات ثانویه و ثانویه کاذب محسوب می‌شوند، باقی سیالات بررسی شدند (شکل ۹).



شکل ۹. شماتیکی از نحوه پراکندگی، اندازه و محتوای سیالات درگیر مشاهده شده، شامل سیالات منفرد (Isolate)، مجتمع (Cluster)، دروندانه (Intra-grain)، مرزدانه (Inter-grain) و قطع‌کننده (Trans-grain) (Inter-grain)

مجموعه شواهد پتروگرافی و میکروترموتری حاصل از سرمایش-گرمایش سیالات، منجر به تشخیص دست کم سه دسته سیال درگیر براساس ترکیب شامل، سیالات کربنیک (CO_2)-غنی از H_2O - CO_2 -کربنیک ($\text{H}_2\text{O}-\text{CO}_2-\text{C}$)، سیالات آبگین-کربنیک ($\text{NaCl}\pm\text{CaCl}_2$) و سیالات آبگین ($\text{H}_2\text{O}-\text{NaCl}\pm\text{CaCl}_2$) شده است. داده‌های بدست آمده از بررسی‌های CO_2 میکروترموتری شامل، دمای همگن‌شدن نهایی ($T_{\text{h}}^{\text{total}}$), دمای ذوب CO_2 ($T_{\text{m}}^{\text{CO}_2}$), دمای همگن‌شدن CO_2 ($T_{\text{h}}^{\text{CO}_2}$), دمای ذوب کلاتریت ($T_{\text{m}}^{\text{clath}}$), دمای ذوب نهایی بخ (ice) ($T_{\text{m}}^{\text{ice}}$) بر حسب درجه سانتی‌گراد و شوری

(Salinity) بر حسب درصد معادل نمک (Wt.% NaCl) است که در جدول ۴ خلاصه شده است. ویژگی‌های

سیالات نامرده بدین شرح است:

۱. سیالات کربنیک غنی از CO_2

با فراوانی حدود ۳۵٪، اشکال تخم مرغی، کروی و بی‌شکل و اندازه بین ۴ تا ۱۵ میکرون، شامل دو نوع غنی از گاز (V_{CO_2}) و دوفازی ($L_{\text{CO}_2}+V_{\text{CO}_2}$) هستند. این سیالات به طور موردنی با سیالات درگیر دو فازی $\text{H}_2\text{O}-\text{CO}_2$ همراه بوده و به دو صورت اولیه و ثانویه کاذب شامل سیالات منفرد، درون‌دانه و قطع کننده دانه در رگه‌ها دیده می‌شود. میانگین دمای همگن شدن CO_2 به فاز مایع بین ۱۲/۶ تا ۲۷/۳°C با چگالی ۰/۷۱ تا ۰/۸۲ gr/cm³ و دمای ذوب نهایی Tm_{CO_2} یا Tm_{CO_2} بین ۵۶/۷-۵۸/۶°C به دست آمد که با توجه به کمتر بودن این دما از مقدار -۵۶/۶°C (triple point)، وجود گازهای CH_4 یا N_2 در این سیالات قابل استنباط است .[۲۱]

۲. سیالات آبگین-کربنیک ($\text{H}_2\text{O}-\text{CO}_2-\text{NaCl}\pm\text{CH}_4$)

با فراوانی ۲۰ تا ۳۰٪، با اشکال نامنظم و کریستال منفی، اندازه بین ۵ تا ۳۰ میکرون، درجه پرشدگی بین ۰/۳ تا ۰/۰ (در دمای ۲۵°C)، به صورت دوفازی ($L_{\text{H}_2\text{O}}+L_{\text{CO}_2}$) و سه‌فازی ($L_{\text{H}_2\text{O}}+L_{\text{CO}_2}+V_{\text{CO}_2}$) در دمای اتفاق مشاهده شدند. در این سیالات، دمای ذوب نهایی CO_2 (Tm_{CO_2}) بین ۹-۵۶/۳°C و دمای ذوب فاز هیدرات گازی کلاتریت (Tm_{clath}) بین ۲/۵-۸/۸°C به ثبت رسید که براساس این دما، شوری محاسبه شده بین ۲/۳ تا ۱۲/۵ درصد معادل نمک (Wt.% NaCl) به دست آمد. همچنین دمای همگن شدن فاز گازی CO_2 به مایع (I_{v})، در دمای ۱۰/۴°C تا ۲۳/۴°C صورت گرفت، که به ترتیب معادل چگالی حجمی ۰/۷۲ (Th_{CO₂}) تا ۰/۸۴ gr/cm³ گاز CO_2 است. در نهایت دمای همگن شدن نهایی (Th_{total} ، در این سیالات بین ۱۴۵/۶ تا ۳۰۴/۲°C به دست آمد. لازم به ذکر است فراوانی این دسته از سیالات ارتباط مستقیمی با سنگ‌های سیلیسی میزبان طلا در مناطق معدنی چاهخاتون و سنجه دارد [۱۲].

۳. سیالات آبگین

با بیشترین فراوانی (حدود ۴۵٪)، به اشکال استوانه‌ای، کشیده و کریستال منفی، اندازه بین ۱۵ تا ۳۵ میکرون و به طور معمول دوفازی ($L_{\text{H}_2\text{O}}+V_{\text{H}_2\text{O}}$) در دمای اتفاق مشاهده شدند. این سیالات به طور موردنی همراه سیالات درگیر ثانویه دوفازی $\text{CO}_2-\text{H}_2\text{O}$ و غنی از CO_2 ، به صورت مجتمع، منفرد، مرزدانه یا قطع کننده دانه‌ای و عمدتاً اولیه در متن کانی میزبان ظاهر شده و دارای نسبت بالای بخار به مایع (V/L) در مقایسه با سیالات ثانویه غنی از فاز مایع (L) هستند (شکل ۹). دمای ذوب نهایی یخ (Tm_{ice} ، در این سیالات در دو محدوده دمایی شامل، ۱) بین ۱/۲-۱۱/۳°C - (بیشترین فراوانی ۴-۶°C-) و شوری ۲/۱ تا ۱۵/۲ درصد معادل نمک (Wt.% NaCl) برای رگه کوارتز-سولفیدی طلدار و ۲) بین ۵-۱۲/۵ تا ۲۶/۷°C - (بیشترین

فراوانی ۲۱-۲۲°C تا ۱۶/۴ و شوری ۲۸/۲ تا ۲۸/۲ درصد معادل نمک (Wt.% NaCl) در رگه‌های کوارتز عقیم بهدست آمد. دمای همگن‌شدن نهایی به فاز مایع (Th_v) نیز در دو محدوده ۲۹۷/۶°C تا ۲۱۲/۲، برای سیالات مرzedane تا قطع‌کننده دانه‌ای رگه کوارتز- سولفیدی طلدار و ۲۴۵/۶°C تا ۱۴۷/۴، برای سیالات درون‌دانه و مرzedane‌ای رگه عقیم کوارتزی بهدست آمدند. خلاصه‌ای از نتایج داده‌های میکروترموتری سیالات درگیر کانسار موته در جدول ۴ ارائه شده است.

جدول ۴. نتایج داده‌های میکروترموتری سیالات درگیر کانسار موته، شامل سیالات کربنیک (نوع ۱)، آبگین- کربنیک (نوع ۲) و آبگین (نوع ۳). دماهای بهدست‌آمده بر حسب درجه سانتی‌گراد (°C)، (L) همگن‌شدن به فاز مایع و n تعداد سیالات

مورد اندازه‌گیری هستند

خصوصیات	انواع
سیالات آبگین نوع ۲ n=16	درجه پرشدنگی (میانگین)
0.3 to 0.75 (0.52)	دمای ذوبنهاشی (میانگین)
-----	دمای همگن‌شدن نهایی (میانگین)
-----	دمای ذوبکلرتریت (میانگین)
-12.5 to -26.7 (-19.6)	دمای ذوبنهاشی پیچ (میانگین)
147.4 to 245.6 (L) (196.5)	دمای همگن‌شدن نهایی (میانگین)
-----	چگالی جرمی (g/cm ³)
16.4 to 28.2	شوری (wt.% NaCl)

بحث

حمل و تهنشست طلا

در سیالات گرمابی، طلا اغلب با کمپلکس‌های بی‌سولفیدی (سیال‌کاهنده) و کلریدی (سیال‌اکسیژن‌دار) حمل می‌شود [۲۲، [۲۳، [۲۴، [۲۵]. همچنین طبق پژوهش‌های تجربی بنینگ و سیوارد [۲۴]، طلا در شوری پایین، $\log f_{O_2}$ و pH متغیر، با کمپلکس بی‌سولفیدی حمل می‌شود. ترکیب بی‌سولفیدی $Au(HS)_2^-$ به عنوان یک کمپلکس مهم در شرایط pH نزدیک به خنثی تا اسیدی ضعیف در محلول‌های سولفیدی احیایی دما پایین رایج است [۲۲، [۲۴، [۲۵]، در حالی که ترکیبات $AuHS^0$ و $Au(HS)^-$ در شرایط pH قلیایی پایدارترند. کمپلکس کلریدی $AuCl_2$ نیز در شرایط اسیدی، شوری و دمای بالا و سیال فقیر از H_2S (log f_{O_2} نسبتاً بالا) غالب است [۲۴، [۲۵].

کانسار طلای موته مشابه بسیاری از رخدادهای طلای کوارتز رگه‌ای پنهان‌های برشی، از لحاظ شرایط دما و فشار، منطبق با رخساره شیست سبز- زیررخساره آمفیبولیت است. شوری پایین تا متوسط، وجود سیالات آبگین- کربنیک، pH خنثی تا قلیایی ضعیف و محتوای احیایی کانی‌ها، از خصوصیات بارز سیال کانه‌ساز در این نوع ذخایر است [۲۰، [۲۶، [۲۷]. با توجه به حضور فلدسپار پتاسیم، آلبیت و سریسیت به عنوان باطله در

رگه‌های طلدار منطقه، می‌توان چنین استباط کرد که pH سیال بین ۶ تا ۷ متغیر است [۲۸، ۲۹]. همچنین عدم تشکیل کانی‌های اکسیدی درجه بالا و حضور ترکیبات تولریوم و بیسموتدار، همراه پیریت، کالکوپیریت و آرسنوبیریت حاکی از ترکیب احیایی سیال گرمابی کانه‌ساز در موته است. علاوه بر آن در کانسار موته، بهدلیل همراهی پاراژنتیکی طلا با کانه‌های پیریت و کالکوپیریت، شوری متوسط تا پایین سیال‌کانه‌دار، مجموعه دگرسانی سریسیت-کربنات و مقادیر ناچیز کانی‌های سولفیدی گالن و اسفالریت، نقش کمپلکس‌های بی‌سولفیدی Au(HS)₂⁻ در انتقال طلا را پررنگتر می‌کند. تغییرات pH سیال منجر به تشکیل دگرسانی کانوپینیت-سریسیت همراه با افزایش مقادیر یون H⁺ به سیال در حال چرخش می‌شود، در حالی که تهشینی کانی‌های کربناته موجب حذف CO₂ از ترکیب سیال کانه‌ساز می‌شود [۳۰]. براساس پژوهش‌های زو هیر [۲۰] و باورز [۳۱] جوشش CO₂ ناشی از تغییرات فشار در راستای پهنه‌های برشی و فرآیند سولفیدی شدن (مانند تشکیل پیریت) در سنگدیواره، بهطور معمول موجب افزایش میزان pH و logO₂ و کاهش logS₂ می‌شود که این تغییرات باعث تهشینی طلا در رگه‌های کوارتزی و هله‌های دگرسانی سنگدیواره (زون شسته شده) می‌گردد. در کانسار موته، با توجه به رخداد طلا در پهنه‌های برشی شسته و بهشدت دگرسان شده سنگ دیواره و رگه‌های کوارتز طلدار، می‌توان گفت کاهش میزان logS₂ از عوامل مؤثر در نهشت طلای منطقه است.

مقایسه کانسار موته با کانسارهای طلای نوع کوهزایی و مرتبط با توده‌های نفوذی

بنیادی‌ترین مفهوم در درک صحیح از زنگ ذخایر معدنی، تعیین ارتباط زمانی و مکانی کانه‌زایی با وقایع تکتونیکی، دگرگونی و ماگمایی است [۳۲]. امروزه، ذخایر طلای مرتبط با سطوح متفاوت پوسته، با توجه به ارتباط بین کانه‌زایی و محیط تکتونیکی بهطورکلی به ذخایر نوع اپیترمال، مرتبه با توده‌های نفوذی یا هله‌های حرارتی و کوهزایی تقسیم می‌شوند [۳۳، ۳۴، ۳۵]. براساس دیدگاه یو و همکاران [۲۹]، استفاده از اصطلاح "intrusion-related" برای توصیف ژنتیکی یک ذخیره (برای مثال [۳۶])، مشکلات مفهومی دارد و با آن‌که این ذخایر معمولاً دارای ارتباط فضایی (مکانی و زمانی) با توده‌های نفوذی هستند، ممکن است ارتباط ژنتیکی مستقیم با نفوذی‌های منطقه وجود نداشته باشد و دقیقاً با اصطلاح ذکر شده منطبق نباشد.

کانه‌زایی طلا در موته، ویژگی‌هایی مشابه ذخایر نوع کوهزایی دارد که بهطور عمده شامل، ۱) وجود سنگ‌های در برگیرنده متابلیتی، ۲) رخداد مجموعه کانی‌ای نوع سولفید پایین (آرسنوبیریت و پیریت)، ۳) دگرسانی سریسیت-کربنات و ۴) سیال کانه‌ساز نوع آبگین-کربنیک با شوری پایین است.

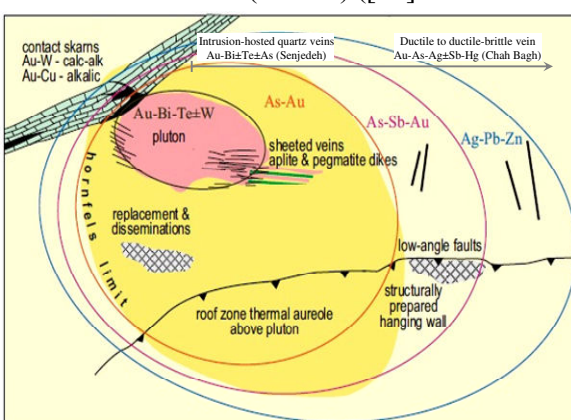
همچنین خصوصیات ارائه شده در این پژوهش، مشابه با ذخایر مرتبه با توده‌های نفوذی شامل، ۱) نفوذی‌های سابلکالن، متالومین با ترکیب حدواتستا اسیدی واقع در سری ایلمنیتی و مگنتیتی، ۲) حضور سیالات گرمابی کربن‌دار، ۳) همبستگی زیاد طلا با مجموعه عناصر Bi, As, Te و یا Sb همراه با تمرکز ضعیف Pb و Zn، ۴) محتوای سولفیدی پایین (کمتر از ۵ درصد حجمی) بهمراه مجموعه کانی‌ای احیایی مشکل از سولفید مس-بیسموت،

بیسموتینیت، آرسنوبیریت، پپروتیت، پپریت و مقادیر ناچیز مگنتیت و هماتیت، ۵) همراهی زمانی و مکانی با ملگماتیسم منطقه [۱]، [۵]، [۶]، [۷].

براساس دیدگاه هارت و گلدارب [۳۷] و گلدارب و همکاران [۳۸]، ذخایر کوهزایی و مرتبط با توده‌های نفوذی دارای ویژگی‌های مشترک زیادی هستند که از آن جمله می‌توان به کانی‌سازی مجموعه سولفیدی احیایی، کانی‌های گانگ، عناصر همراه، وجود سیال CO_2 دار با شوری پایین، کانهزایی رگه‌های مرتبط با دگرگونی، همراهی زمانی و مکانی با گرانیت‌وئیدها و کنترل‌کننده‌های ساختاری محلی اشاره کرد. اما در حالی که ذخایر طلای کوهزایی در واحدهای تکتونیکی فشارشی و کوتاه‌شدگی پوسته واقع در پهنه‌های برشی با مؤلفه ساختاری معکوس تشکیل می‌شوند، در مقابل ذخایر مرتبط با توده‌های نفوذی احیایی متعلق به موقعیت‌های ساختاری کششی طی بالاًمدگی/آبزدایی مجموعه‌های دگرگونی سنگ میزبان و کانهزایی در سامانه‌های گسلی عادی هستند که در منطقه معدنی موته مشاهده می‌شوند [۱]، [۳۴]، [۳۸].

همچنین براساس پژوهش‌های لنگ و بیکر [۳۳]، تامپسون و همکاران [۳۶]، هارت و گلدارب [۳۷]، مککوی و همکاران [۳۹]، الگوی منطقه‌بندی در سامانه‌های مرتبط با توده‌های نفوذی براساس کانی‌شناسی، دگرسانی و توزیع عناصر، تا حدودی در کانسار موته قابل تشخیص است. چنان‌که سامانی [۶] ذخایر طلای مرتبط با توده‌های نفوذی را بر مبنای فاصله با توده، به دو دسته ذخایر نزدیک (pluton-proximal) و دور از توده (pluton-distal) تقسیم‌بندی کرده است. ذخایر نزدیک به توده یا میزبان در نفوذی‌های منطقه، غالباً به صورت ورقه‌ای و کمتر رگچه‌ای-استوکورک در سنگ میزبان و مجاورت توده نفوذی با فاصله کمی از آن، همراه با مجموعه $Au - Bi \pm Te \pm As \pm Mo \pm W$ دیده می‌شوند [۳۳، ۳۷]. در حالی که، ذخایر طلای تشکیل شده با فاصله از توده نفوذی و محدوده خارجی هاله دگرگونی به صورت رگه‌های کانه‌دار کوارتز- سولفیدی با ماهیت اپیترمال تا مزوتomal و در کنترل گسل‌های عمیق منطقه، همراه مجموعه $Au-As-Sb\pm Hg$ و رگه‌های غنی از $Ag\pm Au$ قابل مشاهده است (برای مثال ذخایر Donlin Creek در آلاسکا [۴۰] و Tintina Gold Province در ایالات متحده [۴۱]) (شکل ۱۰).

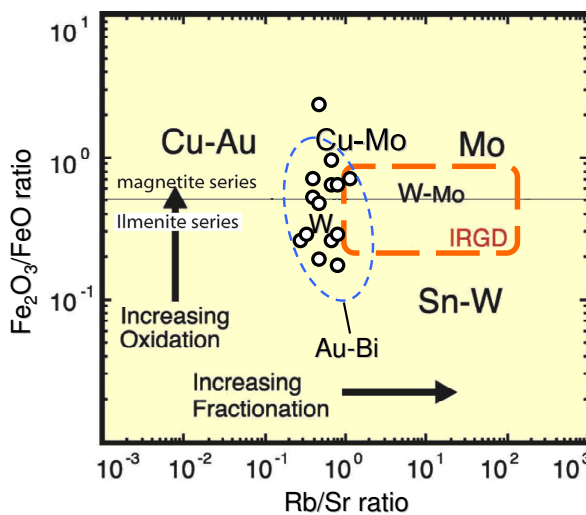
شکل ۱۰. مدل منطقه‌بندی عناصر کانه‌ساز در ذخایر مرتبط با توده‌های نفوذی در ایالت طلای تین تینا (Tintina) نسبت به توده‌نفوذی شامل، توزیع فضایی عناصر، شکل کانی‌سازی و ساختمان‌های مرتبط با کانی‌سازی [۴۱] به همراه نمایش موقعیت کاتسوارهای سنجده و جاه باغ در آن



مطالعات حاصل از این پژوهش، حاکی از آن است که مناطق معدنی چاهخاتون، سنجه و چشمه گوهر در مجموعه کانسوار موته، دارای ترکیب کانه شناسی، مشکل از تلور یم، کانه، حاوی بیسوموت (مانند امبلکتیت و بیسوموتنیت)، طلا و

آزاد، الکتروم، مجموعه سولفosalت‌ها و سولفیدهای سازگار با محیط‌های احیایی، همراه دگرسانی فلدسباتیک با فراوانی الیت و فلدسبار پتاسیم و مجموعه $\text{As} \pm \text{Te} \pm \text{B} - \text{Au}$ است که در تشابه با ذخایر نزدیک به توده یا میزبان در توده نفوذی است. علاوه بر آن، در رخداد طلای چاباغ که در فاصله‌ای دورتر از دیگر رخدادهای کانی‌سازی در موته قرار گرفته است، فدان مجموعه $\text{Te} \pm \text{Bi} \pm \text{Sb} - \text{Au} - \text{As} - \text{Ag}$ و حضور عناصر Au ، به همراه آرسنوبیریت مس‌دار، پیریت‌های آرسنیکدار و نقره طبیعی در پهنه‌های برشی شکل پذیر-شکنا [۳۹]، حاکی از رخداد کانی‌سازی در رخداد طلای چاباغ در فواصل دورتر از نفوذی‌های مرتبه با کانی‌زایی، کمابیش مشابه با مدل‌هایی است که لنگ و بیکر [۳۳] و هارت و گلدفارب [۳۷] ارائه کردند (شکل ۱۰).

به عقیده مورفی [۴۲] و مارش و همکاران [۴۳]، نفوذی‌های مرتبه با کانی‌زایی طلا ماهیت آکالان، متالومینوس، کالک‌آلکالن و پرآلومینوس داشته و احتمالاً بعد از یک کشیدگی ناشی از حرکات گسل‌های تراست در پوسته قدبیمی نفوذ کردند. سنگ‌های آذرین منطقه موته، با ماهیت کالک‌آلکالن در نمودار تغییرات غلظت عناصر کمیاب براساس جایگاه تکتونیکی، در موقعیت گرانیت‌های قوس‌انشقاشانی (VAG) و ناشی از فرورانش حاشیه فعل قاره‌ای قرار می‌گیرد [۴۴]. نسبت $\text{Fe}_2\text{O}_3/\text{FeO}$ بدست آمده در نمونه‌های گرانیتی منطقه موته از ۰/۵۰ تا ۳/۰ (با میانگین ۱/۷۰) متغیر است که حاکی از مأkmای سری مگنتیتی تا کمی ایلمنیتی است. نسبت‌های تفریق و اکسیداسیون نمونه‌های توده گرانیتوئیدی موته، در نمودار مارش و همکاران [۴۳] از ۱/۰۰ تا ۱/۳۰ (با میانگین ۰/۷۰) متغیر است. با توجه به پژوهش‌های بلوین [۴۵]، این نسبت‌ها عمدتاً با گرانیت‌های مولد ذخایر طلا-بیسموت مطابقت دارند (شکل ۱۱).



شکل ۱۱. نمودار مقایسه نسبت درجه اکسیداسیون به تفریق در ذخایر مرتبه با توده‌های نفوذی [۴۵] [۴۶] [۴۳] که در آن نتایج داده‌های توده‌های گرانیتوئیدی منطقه موته (با علامت دایره) در محدوده گرانیت‌های مستعد کانی‌زایی Au-Bi قرار می‌گیرند

با توجه به ارتباط زایشی میان سرگذشت تکتونوماگمایی گوشته لیتوسفری و پوسته بالایی طی تاریخچه تحولات پهنه سندنج-سیرجان (SSZ) در ترشیری به همراه بالا آمدگی توده‌های نفوذی ناشی از فعالیت‌های ساختاری کششی طی مراحل پایانی کوه‌زایی زاگرس و نیز شواهدی همچون زمین‌شناسی کانسار، مجموعه دگرسانی، شیمی کانی‌ها و سیالات درگیر، و با توجه به نظر گرووز و همکاران [۳۴] و گلدفارب و همکاران [۳۸]، کانسار موته می‌تواند تناسب

بیشتری با رده‌بندی ذخایر طلای همراه با گرانیت‌ها نسبت به ذخایر طلای نوع کوهزایی (مزوترمال) داشته باشد (جدول ۵).

جدول ۵. مقایسه کانسار طلای موته با ذخایر کوهزایی (مزوترمال) و مرتبط با توده‌های نفوذی [۳۳]، [۳۴]، [۳۷]، [۴۱]، [۴۶]، [۳۸]

نوع کانسار خصوصیات	کوهزایی (مزوترمال)	مرتبط با توده‌های نفوذی	کانسار موته
موقعیت تکتونیکی	حاشیه قاره‌ای، رژیم‌های پشت‌قوسی کششی همراه با نفوذی‌های مناطق پارشونده	حاشیه قاره‌ای، رژیم‌های تکتونیکی فشارشی همراه با کوتاهشدنگی پوسته	حاشیه قاره‌ای، موقعیت ساختاری کششی طی بالاًمدگی/ابزدایی سنگ بستر ذکرگونه
زمین‌شناسی ساختاری	گسل‌های عادی با مولفه چپگرد و پهنه‌های پرشی شکل‌پذیر - شکنا با مولفه ساختاری عادی	گسل‌های عادی با امتدال‌غلز پهنه‌های پرشی شکل‌پذیر - شکنا	گسل‌های عادی با مولفه چپگرد و پهنه‌های پرشی شکل‌پذیر - شکنا با مولفه ساختاری عادی
سنگ‌های آذرین همراه	پلوتونی‌های گرانیتوئنیدی احیایی‌متالومین تا کمی پرالومین نوع ۱، رویلت	سنگ‌های فلزیک، دایری‌های لامبروفیری و بازولیت‌ها	سنگ‌های گرانیتوئنیدی احیایی‌متالومین تا احیایی و متاریولیت
شكل‌کاری‌سازی	رگماهی، ورقه‌ای تا سفحه‌ای، چانشی و برشی	رگماهی، برشی و پراکنده	رگماهی، شکافپرکن و پراکنده
سنگ میزان	سنگ‌های ماقوک تا تراماپیک، نفوذی‌های اسیدی تا حد اوسط با مقادیر پایین FeO، امغایی‌لیت و لوکوگرانیت شیست، امغایی‌لیت و رویلت‌ها	سنگ‌های نفوذی اسیدی و گری و اکاها	متاریولیت، کوارتز - کاربرت - پیویت
کانه‌ها	طلای از اد، پیریت ± ارسنوبیریت، بیسموت کالکوبیریت، شلیت، تلور و بیسموت و آرسنوبیریت، اگریت، مالکو، اسفالریت و کالکوبیریت	استینینیت، الکتروم، گالان، اسفالریت و کالکوبیریت	پیریت، کالکوبیریت، سولفید مس، بیسموت (امپلکیت)، ارسنوبیریت، پیریوتیت، بیسموت و طلا از اد
عناصر همراه	Au-Bi-Te±Ag±As±Sb±Pb±Zn	Au-Bi-Te-W±Ag±Sb±As±Pb±Zn	Au-Ag-As-Sb±Te±W
ژئوشیمی توده نفوذی	F, B, Cs, Ce, Y, La, REE	Se, Li, Rb, Yb, Th	Cs, Ce, Y, La, REE
نمای (°C) تشكیل	245.6-404.2°C	200-400°C	150-300°C
ترکیب سیال کانه‌ساز	شوری پایین (۲ تا ۶ درصد)، سیالات غنی از CO ₂ (۵ تا ۱۰ mol%) و آبگین ابگین کربنیک همراه با N ₂ و CH ₄ و آبگین کربنیک (N ₂ و CH ₄)	شوری پایین (۳ تا ۱۰ درصد)، سیالات ابگین کربنیک ± H ₂ S و میزان CO ₂ تا ۵ mol% میزان H ₂ S تا ۵ mol%	شوری پایین (۲ تا ۱۵ درصد)، سیالات غنی از CO ₂ (۵ تا ۱۰ mol%) و آبگین کربنیک همراه با N ₂ و CH ₄ و آبگین کربنیک (N ₂ و CH ₄)
نسبت Au/Ag	<10 gr/ton	<10 gr/ton	8.5 gr/ton
دگرسانی مرتبط	دگرسانی پتاسیک (فلدسبار پتاسیم)، سدیک (آلیت)، سریسیتی شدن، کلریت شدن و کربناتی شدن	کربناتی شدن، سریسیتی شدن، سدیک (آلیت)، سریسیتی شدن و آرژیلیک سولفیدی شدن و آرژیلیک	دگرسانی سیالیسیک (فلدسبار پتاسیم)، سدیک (آلیت)، سریسیتی شدن، کلریت شدن و کربناتی شدن
منشا سیال کانه‌ساز	آب‌های جوی و دگرگونی	آب‌های جوی و دگرگونی	آب‌های جوی و مانگانی [۴۶]
منطقه‌بندی کانسار	دارای منطقه‌بندی قائم و افقی عناصر نسبت به توده نفوذی	فاقد منطقه‌بندی مشخص	دارای منطقه‌بندی قائم و افقی عناصر نسبت به توده نفوذی

نتیجه‌گیری

کانسار طلای موته با سنگ میزان متاریولیت، پیویت-پلازیوکلاز گنیس و کوارتز - سریسیت شیست ماهیت خردشده، برشی و میلونیتی تا اولترامیلونیتی دارد که کانه‌سازی به موسیله پهنه‌های برشی شکل‌پذیر - شکنا و مجموعه نفوذی منطقه کنترل می‌شود. مشابه بسیاری از ذخایر طلای جهان، پهنه‌های برشی مجرای هدایت سیال طلادر و واحدهای ساختاری (بهویژه محل برخورد گسل‌ها و پهنه‌برشی) مکان مناسب برای ته نشست طلا و عناصر همراه هستند. در کانسار موته، کانهزایی طلا مرتبط با دگرسانی‌های گرمابی سیلیسی تحتمی کنترل پهنه‌برشی (مشابه رخساره شیست سیز - زیررخساره آمفیبیولیت) است و مشکل از مجموعه سریسیت + آلیت + فلدسبار پتاسیم + کلریت + کربنات + کوارتز + پیویت است. اضافه برآن، دگرسانی رایج در سنگ میزان و رگه‌ها، شامل دگرسانی پتاسیک (فلدسبار پتاسیم)، سدیک (آلیت)، سریسیتیک، کلریتی، کربناتی و به مقدار کم، کائولینیتی شدن است. در منطقه بررسی شده دو دسته رگه طلادر قابل تدقیق با محتوای کانی‌شناسی، بافت، ساخت و پیدیده‌های ساختاری قابل تمیز است که رگه کوارتز - سولفیدی نوع ۱، در یک سامانه گسلی عادی با مولفه چپگرد و راستای N25-35W و رگه کوارتز پیریت - کربنات نوع ۲، در سنگ‌های میلونیتی و اولترامیلونیتی به شدت تغییر شکل یافته با راستای N40-50W رخ داده

است. در مجموع، حضور سنگ‌های گرانیتی با ماهیت متالومین و ساب‌آکالان، حضور آلبیت و فلدسپارپیتاسیم همراه با کانه‌سازی، محتوای سولفیدی پایین کانه‌ها، رخداد مجموعه Au-Bi±Te±As معرف شرایط احیایی، حضور سیالات گرمابی کربنیک و ارتباط ژنتیکی میان سرگذشت تکتونوماگمایی پهنه سندج-سیرجان با رخداد ماگماتیسم کوهزایی زاگرس در منطقه، احتمالاً نشانه‌هایی از کانه‌سازی طلا، مشابه با سامانه کانزایی مرتبه با توده‌های نفوذی احیایی در منطقه موته است.

منابع

1. R. Moritz, F. Ghazban, B. S. Singer, "Eocene gold ore formation at Muteh, Sanandaj-Sirjan tectonic zone, western Iran: a result of late-stage extension and exhumation of metamorphic basement rocks within the Zagros orogen", *Economic geology* 101 (2006) 1497-1524.
2. A. Farhangi, "Gold prospecting in Muteh region, Esfahan", in Ladeira, E.A., ed., *Brazil Gold '91*: Rotterdam, Balkema, (1991) 801-804.
3. ح. کوهستانی، ا. راستاد، ن. رشیدنژاد و م. مجلل، نقش نگرشکلی و نگرسانی در کانه‌سازی طلا در پهنه‌برشی کانسار چامباغ، بیست و سومین کنگره‌های سازمان زمین‌شناسی ایران، تهران، (۱۳۸۴) ۵۱-۵۰.
4. F. Aliyari, E. Rastad, M. Mohajjel, G. B. Arehart, "Geology and geochemistry of D-O-C isotope systematics of the Qolqoleh gold deposit, Northwestern Iran: Implication for ore genesis", *Ore Geology Review* (2009) (article in press).
5. O. Thiele, M. Alavi, R. Assefi, A. Hushmand-zadeh, A. Seyed-Emami, M. Zahedi, "Explanatory text of the Golpaygan quadrangle map 1:250,000: Geological Survey of Iran", *Geological Quadrangle E7* (1968) 24.
6. B. A. Samani, "Metallogeny of the Precambrian in Iran", *Precambrian Research* 39 (1988) 85-106.
7. N. Rachidnejad-Omrani, M.H. Emami, M. Sabzehei, E. Rastad, H. Bellon, A. Piqué, "Lithostratigraphie et histoire paléozoïque à paléocène des complexes métamorphiques de la région de Muteh, zone de Sanandaj-Sirjan (Iran méridional)", *Comptes rendus Geoscience* 334 (2002) 1185-1191.
8. ح. کوهستانی، زمین‌شناسی، کانی‌شناسی، ژئوشیمی و فابریک‌های کانه‌سازی طلا در پهنه‌برشی چامباغ بر منطقه معنی موته (جنوب غرب تلیجان، اصفهان)، پایان‌نامه‌کارشناسی ارشد، دانشگاه تربیت مدرس تهران (۱۳۸۴) ۲۲۲.
9. ع. آقانباتی، زمین‌شناسی ایران، انتشارات سازمان زمین‌شناسی ایران (۱۳۸۳) ۵۸۶.
10. M. Mohajjel, C. L. Fergusson, M. R. Sahandi, "Cretaceous-Tertiary convergence and continental collision", *Sanandaj-Sirjan Zone, Western Iran. Journal of Asian Earth Sciences* 21 (2003) 397-412.

11. J. Golonka, "Plate tectonic evolution of the southern margin of Eurasia in the Mesozoic and Cenozoic", *Tectonophysics* 381 (2004) 235-273.
۱۲. ن. یوسفی نیا، مطالعات سیالات درگیر کانسار طلای موته و تأثیر آن در تفکیک رگه‌های کانسار و عقیم، پایان‌نامه کارشناسی ارشد، دانشگاه تربیت معلم تهران (۱۳۸۳).
13. T. J. Shepherd, A. H. Rankin and D. H. M. Alderton, "A Practical Guide to Fluid Inclusion Studies", Blackie and Son (1985) 239.
14. P. E. Brown, "FLINCOR: a microcomputer program for the reduction and investigation of fluid inclusion data", *American Mineralogist* 74 (1989) 1390-1393.
15. R. J. Bodnar, "Introduction to aqueous-electrolyte fluid inclusions", Mineralogical Association of Canada Short Course 32 (2003) 81-100.
16. L. W. Diamond, "Stability of CO₂ clathrate hydrate + CO₂ liquid + CO₂ vapour + aqueous KCl-NaCl solutions: Experimental determinations and application to salinity estimates of fluid inclusions", *Geochimica et Cosmochimica Acta* 56 (1992) 273-280.
17. G. Simmons, D. Richter, "Microcracks in rocks. In: Strens RGJ (ed) The physics and chemistry of minerals and rocks", Wiley, Toronto (1976) 105-137.
18. J. L. R. Touret, "Fluid inclusions in high grade metamorphic rocks. In: Hollister L", Crawford ML (eds) Short course in fluid inclusions: applications to petrology. Mineralogical Association of Canada, Calgary (1981) 182-208.
19. R. L. Kranz, "Microcracks in rocks: a review", *Tectonophysics* 100 (1-3), 449-480.
20. B. A. Zoheir, "Structural controls, temperature-pressure conditions and fluid evolution of orogenic gold mineralization at the Betam mine", south Eastern Desert, Egypt. *Mineralium Deposita* 43 (2008) 79-95.
21. R. C. Burruss, "Analysis of phase equilibria in C–O–H–S fluid inclusions", Mineralogical Association of Canada Short Course Handbook 6 (1981) 39–74.
22. D. M. Shenberger, H. L. Barnes, "Solubility of gold in aqueous sulphide solutions from 150 to 350°C", *Geochim Cosmochim Acta* 53 (1989) 269-278.
23. K. Hayashi, H. Ohmoto, "Solubility of gold in NaCl- and H₂S bearing aqueous solutions at 250–350°C", *Geochim Cosmochim Acta* 55 (1991) 2111-2126.
24. L. G. Benning, T. M. Seward, "Hydrosulphide complexing of Au (I) in hydrothermal solutions from 150–400°C and 500–1500 bars", *Geochim Cosmochim Acta* 60 (1996) 1849-1871.

25. G. Palanova, "Physicochemical modeling of the coupled behavior of gold and silver in hydrothermal processes: gold fineness", Au/Ag ratios and their possible implications, *Chemical geology* 255 (2008) 399-413.
26. E. J. Mikucki, J. R. Ridley, "The hydrothermal fluid of Archean lode-gold deposits at different metamorphic grades: compositional constraints from ore and wall rock alteration assemblages", *Mineralium Deposita* 28 (1993) 469-481.
27. E. J. Mikucki, "Hydrothermal transport and depositional processes in Archaean lode-gold systems: a review", *Ore Geol Rev* 13 (1998) 307-321.
28. B. C. Yoo, "Mineralogy and geochemical study of some mesothermal gold-silver-bearing vein deposits in the Yugu-Kwangchun mine district", Republic of Korea. PhD thesis, Chungnam National University (2000) 230.
29. B. C. Yoo, K. H. Lee, C. N. White, "Mineralogical, fluid inclusion, and stable isotope constraints on mechanisms of ore deposition at the Samgwang mine (Republic of Korea)-a mesothermal", vein-hosted gold-silver deposit, *Mineralium Deposita* (2009) published online.
30. P. Buchholz, P. Herzig, G. Friedrich, R. Frei, "Granite-hosted gold mineralisation in the Midlands greenstone belt: a new type of low-grade large scale gold deposit in Zimbabwe", *Mineralium Deposita* 33 (1998) 437-460.
31. T. S. Bowers, "The deposition of gold and other metals: pressure induced fluid immiscibility and associated stable isotope signatures", *Geochim Cosmochim Acta* 55 (1991) 2427-2434.
32. J. Yang, F. Wu, S. A. Wilde, "A review of the geodynamic setting of large-scale late Mesozoic gold mineralization in the North China Craton: an association with lithospheric thinning", *Ore Geology Reviews* 23 (2003) 125-152.
33. J. R. Lang, T. Baker, "Intrusion-related gold systems: the present level of understanding", *Mineralium Deposita* 36 (2001) 477-489.
34. D. I. Groves, K. C. Condie, R. J. Goldfarb, J. M. A. Hronsky, R. M. Vielreicher, "Secular changes in global tectonic processes and their influence on the temporal distribution of gold-bearing mineral deposits", *Economic Geology* 100 (2005) 203-224.
35. V. J. Wall, "TAG: thermal aureole (pluton-related) gold systems", *Australian Institute of Geoscientists. Quarterly Newsletter* 79 (2005) 1-7.
36. J. F. H. Thompson, R. H. Sillitoe, T. Baker, J. R. Lang, J. K. Mortensen, "Intrusion-related gold deposits associated with tungsten-tin provinces", *Mineralium Deposita* 34 (1999) 323-334.

37. C. J. R. Hart and R. J. Goldfarb, "Distinguishing intrusion-related from orogenic gold systems", New Zealand Minerals Conference Proceedings, (2005) 125-133.
38. R. J. Goldfarb, T. Baker, B. Dube, D. I. Groves, C. J. R. Hart, P. Gosselin, "Distribution, character, and genesis of gold deposits in metamorphic terranes. In: Hedenquist JW", Thompson, J. F. H., Goldfarb, R. J., Richards, J. P., (eds), Economic Geology 100th Anniversary Volume (2005) 407-450.
39. D. McCoy, R. J. Newberry, P. Layer, J. J. Di Marchi, A. Bakke, S. Mas-terman, D. L. Minehane, "Plutonic-related gold deposits of Interior Alaska. In: Goldfarb", R. J., Miller, L. D., (eds) Mineral deposits of Alaska, Economic Geology 9 (1997) 191-241.
40. S. Ebert, L. Miller, S. Petsel, S. Dodd, P. Kowalczyk, "Geology, mineralization, and exploration at the Donlin Creek project", Southwestern Alaska. British Columbia and Yukon Chamber of Mines Spec 2 (2000) 99-114.
41. C. J. R. Hart, D. McCoy, R. J. Goldfarb, M. Smith, P. Roberts, R. Hulstein, A. A. Bakke, and T. K. Bundtzen, Geology, "exploration and discovery in the Tintina gold province, Alaska and Yukon: Society of Economic Geologists", Special Publication 9 (2002) 241-274.
42. D. C. Murphy, "Geology of the McQuesten River region, northern McQuesten and Mayo map areas, Yukon Territory: Exploration and Geological Services Division", Yukon Region, Indian and Northern Affairs Canada, Bulletin 6 (1997) 95.
43. E. E. Marsh, C. J. R. Hart, R. J. Goldfarb, T. L. Allen, "Geology and geochemistry of the Clear Creek Gold occurrences, Tombstone Gold belt", central Yukon Territory: Yukon Exploration and Geology 1998, Exploration and Geological Services Division, Yukon Region, Indian and Northern Affairs Canada (1998) 185-196.
۴۴. م. حاجی زاده، توزیع فضایی طلا در منطقه موته و نقش کنترل کننده‌های ساختمانی در این توزیع، پایان‌نامه کارشناسی ارشد، دانشگاه تربیت معلم تهران (۱۳۸۸) ۱۱۰.
45. P. L. Bleven, "Redox and compositional parameters for interpreting the granitoid metallogenesis of eastern Australia: implications for Gold-rich ore systems", Resource Geology 54 (2004) 241-252.
46. M. J. Abdollahi, M. H. Karimpour, A. Kheradmand, "O-H and S stable isotopes in the Muteh gold deposit, Golpaygan area", Isfahan, Iran. Geological Survey of Iran, Geology Symposium, 26rd, Tehran, Iran, (2007) 60-71.